

*Процедура оптимизации  
слитой очереди воздушных судов  
с учётом их типов*

*А.А. Спиридонов*

**18 мая 2020 г.**



# Постановка задачи

- $\{t_i^{\text{nom}}\}_{i=1}^N$  — упорядоченный по возрастанию набор номинальных моментов прибытия воздушных судов (ВС) в точку слияния;
- $t_i^{\text{nom}} \rightarrow [t_i^{\text{nom}} - t_i^{\text{acc}}, t_i^{\text{nom}} + t_i^{\text{dec}}]$  — интервал варьирования изменённого момента прибытия каждого ВС;
- $\tau_{i,j}^{\text{safe}}$  — минимальный безопасный временной интервал между  $i$ -м и  $j$ -м ВС в результирующей очереди.

Таким образом, возникает оптимизационная задача

$$F(\{t_i\}, \{t_i^{\text{nom}}\}) = \sum_{i=1}^N f(t_i, t_i^{\text{nom}}) \rightarrow \min$$

при ограничениях

$$t_i \in [t_i^{\text{nom}} - t_i^{\text{acc}}, t_i^{\text{nom}} + t_i^{\text{dec}}], \\ \forall 1 \leq i < j \leq N \quad t_j - t_i \geq \tau_{i,j}^{\text{safe}}$$

Таким образом, возникает оптимизационная задача

$$F(\{t_i\}, \{t_i^{\text{nom}}\}) = \sum_{i=1}^N f(t_i, t_i^{\text{nom}}) \rightarrow \min$$

при ограничениях

$$t_i \in [t_i^{\text{nom}} - t_i^{\text{acc}}, t_i^{\text{nom}} + t_i^{\text{dec}}],$$
$$\forall 1 \leq i < j \leq N \quad t_j - t_i \geq \tau_{i,j}^{\text{safe}}$$

**В случае разнотиповых судов важен их порядок!**

# Нелинейные критерии

На предыдущем этапе работы рассматривались нелинейные критерии с жёсткими и мягкими ограничениями, но без учёта типов ВС.

# Нелинейные критерии

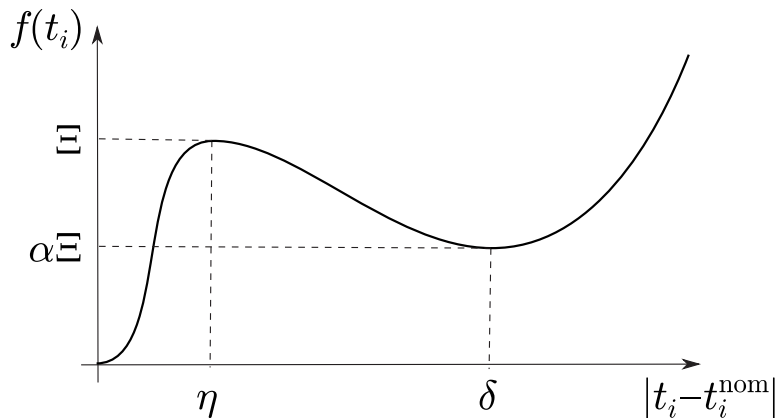
На предыдущем этапе работы рассматривались нелинейные критерии с жёсткими и мягкими ограничениями, но без учёта типов ВС.

Например, квадратичный критерий:

$$F(\{t_i\}, \{t_i^{\text{nom}}\}) = \sum_{i=1}^N (t_i - t_i^{\text{nom}})^2 \rightarrow \min$$

# Нелинейные критерии

Критерий с ограничением на минимальную величину вариации:





# Нелинейные критерии

В случае выпуклости критерия  $f(t_i, t_i^{\text{nom}})$  для одного суда выпуклым является и суммарный критерий  $F(\{t_i\}, \{t_i^{\text{nom}}\})$ . Однако если критерий  $f$  одного судна невыпуклый, то суммарный критерий  $F$  становится многоэкстремальным и плохо поддаётся минимизации.

# Нелинейные критерии

В случае выпуклости критерия  $f(t_i, t_i^{\text{nom}})$  для одного суда выпуклым является и суммарный критерий  $F(\{t_i\}, \{t_i^{\text{nom}}\})$ . Однако если критерий  $f$  одного судна невыпуклый, то суммарный критерий  $F$  становится многоэкстремальным и плохо поддаётся минимизации.

Поэтому вернёмся обратно к простейшему кусочно-линейному критерию в виде суммы  $f(t_i, t_i^{\text{nom}}) = |t_i - t_i^{\text{nom}}|$ , но с учётом разных типов ВС.

# Учёт порядка ВС. Обозначения

Рассматривались три типа судов: «лёгкий» (L, light), «средний» (M, medium), «тяжёлый» (H, heavy).

$\sigma_i$  — тип  $i$ -го ВС,  $\sigma$  выбирается из множества  $\{L, M, H\}$ .

Промежуток безопасности $\tau_{\sigma_i, \sigma_j}^{\text{safe}}$ , (с)	лёгкий	средний	тяжёлый
лёгкий	60	60	60
средний	180	60	60
тяжёлый	180	120	120

Величины варьирования момента прибытия  $t_i^{\text{acc}}$ ,  $t_i^{\text{dec}}$  также зависят от типа ВС, однако сейчас в моделировании используются одинаковые для всех типов значения  $t_i^{\text{acc}} = t^{\text{acc}} = 8$  минут,  $t_i^{\text{dec}} = t^{\text{dec}} = 22$  минуты.

# Идеи обработки ансамбля ВС

Количество всевозможных перестановок  $N$  судов —  $N!$ , при  $N \geq 13$  очень большая величина. Нужно ограничить перебор перестановок.

В расчётах хочется пользоваться вычислительными возможностями обыкновенного персонального компьютера, поскольку данные алгоритмы, скорее всего, будут исполняться на рабочем месте диспетчера УВД.

# Идеи обработки ансамбля ВС

Основная идея — разбиение исходной группы на подгруппы меньшего размера (кластеризация), оптимизировать которые можно независимо. Выделение таких подгрупп осуществляется построением расписания для судов в их исходном порядке, а затем обнаружением последовательностей судов, разделенных промежутком, большим определенного порога. Априорная разумная величина такого промежутка — 5 минут.

# Идеи обработки ансамбля ВС

Основная идея — разбиение исходной группы на подгруппы меньшего размера (кластеризация), оптимизировать которые можно независимо. Выделение таких подгрупп осуществляется построением расписания для судов в их исходном порядке, а затем обнаружением последовательностей судов, разделенных промежутком, большим определенного порога. Априорная разумная величина такого промежутка — 5 минут.

Вторая идея — ограничение изменения позиции ВС по отношению к исходному порядку не более чем на оговоренную величину. Это ограничение в разных экспериментах бралось равным 4 и 5.

# Идеи обработки ансамбля ВС

Третья идея — использование разных промежутков варьирования для разных ВС. В численных экспериментах с одинаковым максимальным промежутком варьирования момента прибытия (8 мин ускорения, 22 мин замедления) величина этого промежутка такова, что весьма слабо сокращает перебор. Но в ситуации с судами, имеющими различные промежутки варьирования, эта идея может дать выигрыш в производительности.

Идея о перестановке судов в очереди при учёте лишь величины отклонений назначенного момента прибытия от номинального, вообще говоря, **не даёт более оптимального решения.**

Пример: (H,1500), (L,1560), (H,1620).

Имеется конфликт между 1-м и 2-м ВС. Разрешить его можно или ускорив 1-е судно на 120 сек, либо ускорив 2-е судно на 120 сек. С точки зрения функции штрафа оба варианта равноценны, но по требованиям УВД в таких ситуациях требуется маневрировать лёгким судном.



Отразить приоритет манёвров более лёгких судов можно введя зависимость функции штрафа от типа ВС:

$$f(t_i, t_i^{\text{nom}}, \sigma_i) = \beta_{\sigma_i} \cdot |t_i - t_i^{\text{nom}}|.$$

В дальнейших экспериментах считаем  $\beta_L = 1.0$ ,  $\beta_M = 3.0$ ,  $\beta_H = 5.0$ .

# Идея перебора перестановок ВС

Основной критерий — «плотность» очереди: сумма интервалов безопасности между всеми парами соседних ВС в очереди.

Начиная с исходного порядка судов (в соответствии с номинальными моментами прибытия) будем менять местами подгруппы ВС так, чтобы очередь становилась более плотной, то есть сумма интервалов безопасности **строго** уменьшалась.

В принципе, рассматривался и вариант, когда исследовались перестановки, которые не ухудшают плотность очереди. Однако в этом случае перебор становился слишком большим.

Рассмотрим последовательность судов:

$v_1 v_2 \dots v_{i-1} v_i \dots v_j v_{j+1} \dots v_k v_{k+1} \dots v_N$

# Типы перестановок

Рассмотрим последовательность судов:

$v_1 v_2 \dots v_{i-1} v_i \dots v_j v_{j+1} \dots v_k v_{k+1} \dots v_N$

Выделим в ней две подряд идущих подгруппы:

$v_1 v_2 \dots v_{i-1} v_i \dots v_j v_{j+1} \dots v_k v_{k+1} \dots v_N$

# Типы перестановок

Рассмотрим последовательность судов:

$$v_1 v_2 \dots v_{i-1} v_i \dots v_j v_{j+1} \dots v_k v_{k+1} \dots v_N$$

Выделим в ней две подряд идущих подгруппы:

$$v_1 v_2 \dots v_{i-1} v_i \dots v_j v_{j+1} \dots v_k v_{k+1} \dots v_N$$

Попробуем переставить их местами:

$$v_1 v_2 \dots v_{i-1} v_{j+1} \dots v_k v_i \dots v_j v_{k+1} \dots v_N$$

# Типы перестановок

Рассмотрим последовательность судов:

$$v_1 v_2 \dots v_{i-1} v_i \dots v_j v_{j+1} \dots v_k v_{k+1} \dots v_N$$

Выделим в ней две подряд идущих подгруппы:

$$v_1 v_2 \dots v_{i-1} v_i \dots v_j v_{j+1} \dots v_k v_{k+1} \dots v_N$$

Попробуем переставить их местами:

$$v_1 v_2 \dots v_{i-1} v_{j+1} \dots v_k v_i \dots v_j v_{k+1} \dots v_N$$

Новая перестановка лучше, если она более плотная.

# Типы перестановок

Запишем формально, что новая перестановка более плотная.

$$\begin{aligned} \dots \sigma_1 [\sigma_2 \dots \sigma_3] [\sigma_4 \dots \sigma_5] \sigma_6 \dots &\longrightarrow \\ &\longrightarrow \dots \sigma_1 [\sigma_4 \dots \sigma_5] [\sigma_2 \dots \sigma_3] \sigma_6 \dots \end{aligned}$$

Сравнением величины  $s_{\text{old}}^{\text{mid}} = \tau_{\sigma_1, \sigma_2}^{\text{safe}} + \tau_{\sigma_3, \sigma_4}^{\text{safe}} + \tau_{\sigma_5, \sigma_6}^{\text{safe}}$  и

$$s_{\text{new}}^{\text{mid}} = \tau_{\sigma_1, \sigma_4}^{\text{safe}} + \tau_{\sigma_5, \sigma_2}^{\text{safe}} + \tau_{\sigma_3, \sigma_6}^{\text{safe}}$$

Перебираем  $\sigma_1 \in \{L, M, H\}$ ,  $\sigma_2 \in \{L, M, H\}$ ,  $\dots$ ,

$\sigma_6 \in \{L, M, H\}$  и выбираем те их комбинации, для которых  $s_{\text{new}}^{\text{mid}} < s_{\text{old}}^{\text{mid}}$ .

Перестановок в середине очереди — 162 шт.

Аналогично:

**Перестановок в начало очереди — 54 шт.**

$[\sigma_2 \dots \sigma_3] [\sigma_4 \dots \sigma_5] \sigma_6 \dots \longrightarrow [\sigma_4 \dots \sigma_5] [\sigma_2 \dots \sigma_3] \sigma_6 \dots$

**Сравнение величин**  $s_{\text{old}}^{\text{beg}} = \tau_{\sigma_3, \sigma_4}^{\text{safe}} + \tau_{\sigma_5, \sigma_6}^{\text{safe}}$  и

$$s_{\text{new}}^{\text{beg}} = \tau_{\sigma_5, \sigma_2}^{\text{safe}} + \tau_{\sigma_3, \sigma_6}^{\text{safe}}$$

**Перестановка в конец очереди — 68 шт.**

$\dots \sigma_1 [\sigma_2 \dots \sigma_3] [\sigma_4 \dots \sigma_5] \longrightarrow \dots \sigma_1 [\sigma_4 \dots \sigma_5] [\sigma_2 \dots \sigma_3]$

**Сравнение величин**  $s_{\text{old}}^{\text{end}} = \tau_{\sigma_1, \sigma_2}^{\text{safe}} + \tau_{\sigma_3, \sigma_4}^{\text{safe}}$  и

$$s_{\text{new}}^{\text{end}} = \tau_{\sigma_1, \sigma_4}^{\text{safe}} + \tau_{\sigma_5, \sigma_2}^{\text{safe}}$$



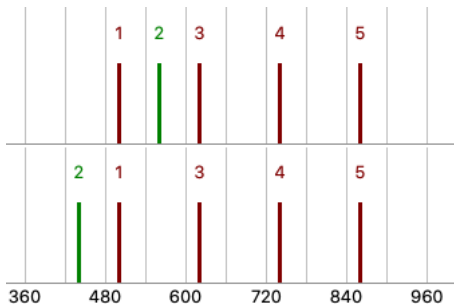
- 1 Кластеризация исходного набора ВС;
- 2 Независимая оптимизация каждого кластера
  - 1 Перебор шаблонов перестановок;
  - 2 Поиск очередного вхождения текущего шаблона;
  - 3 Осуществление соответствующей перестановки и вычисление основного критерия на полученном порядке;
  - 4 Запоминание полученного порядка для проведения перестановок в нём.

- 1 Кластеризация исходного набора ВС;
- 2 Независимая оптимизация каждого кластера
  - 1 Перебор шаблонов перестановок;
  - 2 Поиск очередного вхождения текущего шаблона;
  - 3 Осуществление соответствующей перестановки и вычисление основного критерия на полученном порядке;
  - 4 Запоминание полученного порядка для проведения перестановок в нём.

Графовая формализация: узел — порядок судов, из одного узла в другой идёт дуга, если в первом порядке есть улучшающая перестановка, дающая второй порядок. Перебор узлов DAG'а и поиск узла, соответствующего порядку, дающему минимальное значение функционала. Поиск в ширину.

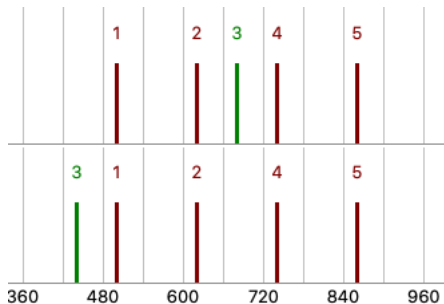
# Примеры работы алгоритма

$t_i^{\text{nom}}$	500	560	620	740	860
Тип	H	L	H	H	H
$t_i$	500	440	620	740	860



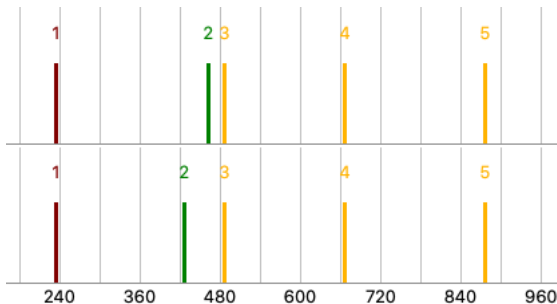
# Примеры работы алгоритма

$t_i^{\text{nom}}$	500	620	680	740	860
Тип	H	H	L	H	H
$t_i$	500	620	440	740	860



# Примеры работы алгоритма

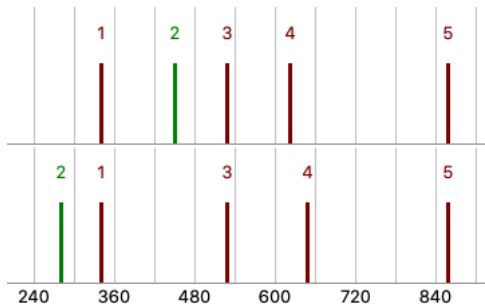
$t_i^{nom}$	235.6	462.9	487.5	666.3	877.4
Тип	H	L	M	M	M
$t_i$	235.6	427.5	487.5	666.3	877.4



Требуемый интервал получен только манёвром лёгкого судна.

# Примеры работы алгоритма

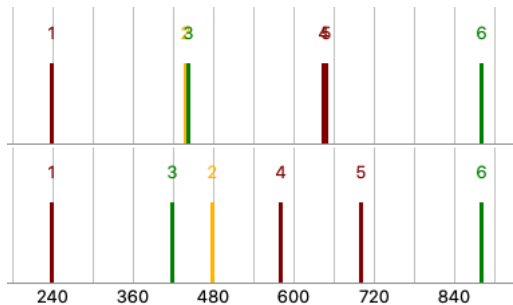
$t_i^{nom}$	340.3	451.2	529.4	623.9	859.0
Тип	H	L	H	H	H
$t_i$	340.3	280.3	529.4	649.4	859.0



Также необходим манёвр тяжёлого судна с номером 4.

# Примеры работы алгоритма

$t_i^{\text{nom}}$	238.6	439.0	442.7	644.4	649.2	881.6
Тип	H	M	L	H	H	L
$t_i$	238.6	478.6	418.6	581.6	701.6	881.6

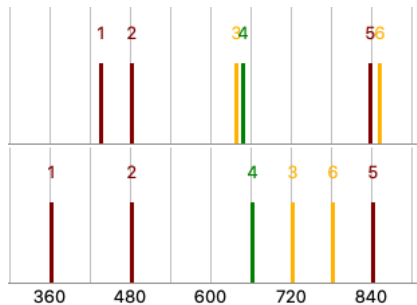


Изменён порядок 2-го и 3-го судов.

В паре 4-го и 5-го судов можно двигать любое или оба, но если двигать одно — возникает наведённый конфликт.

# Примеры работы алгоритма

$t_i^{\text{nom}}$	436.9	483.4	639.6	649.0	838.0	852.7
Тип	H	H	M	L	H	M
$t_i$	363.4	483.4	723.4	663.4	843.4	783.4

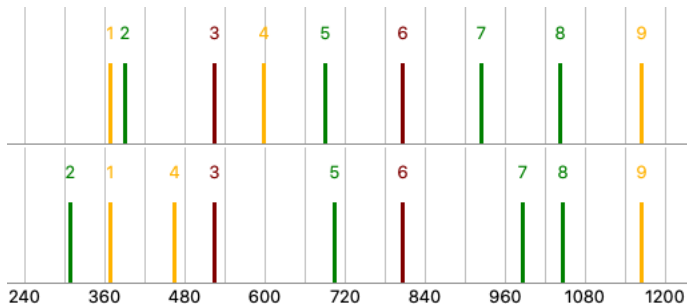


По удачному стечению обстоятельств удалось вписать средние суда между лёгким и тяжёлым без изменения их момента прибытия.



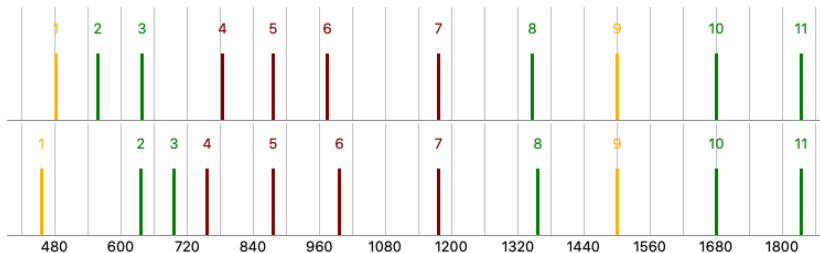
# Примеры работы алгоритма

$t_i^{\text{nom}}$	369.2	391.9	524.6	599.0	690.4	806.6	925.1	1042.5	1164.3
Тип	M	L	H	M	L	H	L	L	M
$t_i$	369.2	309.2	524.6	464.6	704.6	806.6	986.6	1046.6	1164.3



# Примеры работы алгоритма

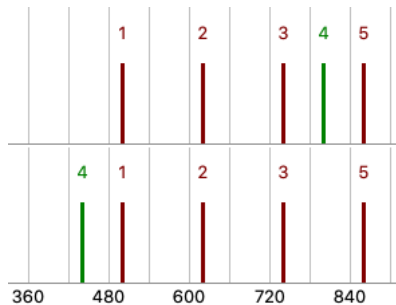
$t_i^{nom}$	483.8	558.7	638.6	785.1	877.8	975.4	1176.0	1346.2	1500.1	1680.6	1835.6
Тип	M	L	L	H	H	H	H	L	M	L	L
$t_i$	457.8	637.8	697.8	757.8	877.8	997.8	1176.0	1356.0	1500.1	1680.6	1835.6



Возникла необходимость манёвра тяжёлых судов.

# Примеры работы алгоритма

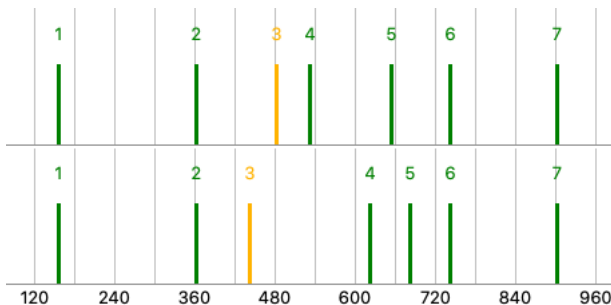
$t_i^{\text{nom}}$	500	620	740	800	860
Тип	H	H	H	L	H
$t_i$	500	620	740	440	860



Было бы логичнее задержать лёгкое судно на 2 минуты, однако с точки зрения алгоритма такая перестановка менее оптимальная, поскольку ухудшает плотность очереди.

# Примеры работы алгоритма

$t_i^{\text{nom}}$	156.5	363.7	482.7	532.7	655.3	742.8	903.3
Тип	L	L	M	L	L	L	L
$t_i$	156.5	363.7	442.8	622.8	682.8	742.8	903.3



# Производительность алгоритма. Среднее время

Численные эксперименты проводились на компьютере с процессором 2.2GHz Intel Core i7-9100 (6 ядер с Hyper-Threading) и памятью 16GB 2300MHz DDR4. Счёт проводился в однопоточном режиме на одном ядре процессора. В таблице приведено среднее время работы алгоритма в миллисекундах для 10000 тестов:

Количество ВС Ограничение на изменение позиции	5	6	7	8	9	10	11	12	13
4	0.3	1.6	6.0	17.0	46.0	112.5	314.2	747.2	1919.0
5	0.3	2.1	9.1	33.2	115.6	369.7	1001.0	3246.7	9704.0

# Производительность алгоритма. Худшее время

Наибольшее время работы алгоритма среди сгенерированных ансамблей в секундах:

Количество ВС Ограничение на изменение позиции	5	6	7	8	9	10	11	12	13
4	0.007	0.027	0.109	0.5	1.5	6.2	24.5	78.4	253.4
5	0.006	0.036	0.161	1.0	5.0	21.6	37.4	270.2	740.6

Разработана процедура генерации оптимального порядка в очереди ВС разных типов при оптимизации критерия в виде суммы модулей отклонений с весовыми коэффициентами, оценена эффективность её работы.

Кроме того, в некоторой степени, данная процедура также уменьшает количество судов, чьи моменты прибытия были изменены, однако этот аспект работы процедуры может быть улучшен.

Полученная статистика показывает, что, как и ожидалось, время счёта растёт экспоненциально по количеству ВС в обрабатываемом ансамбле. Однако, среднее время остаётся приемлемым даже для 13 ВС, может быть и для 14. Требуется сбор более полной статистики:

распределение по длительностям счёта, среднее количество кластеров в ансамбле (сейчас эта информация не собиралась), возможно, что-нибудь ещё.

В настоящее время ведётся разработка параллельной версии поиска в ширину для ускорения вычислений с целью получения подобной статистики за разумное время.